

©1993

**ПРОЯВЛЕНИЕ ЭФФЕКТА РАЗМЕРНОГО КВАНТОВАНИЯ  
В ЛЕГИРОВАННЫХ ПОЛУПРОВОДНИКОМ СТЕКЛАХ  
ОС И КС**

*В.С.Днепровский, В.А.Караванский, В.И.Климов*

В разрешенных во времени спектрах нелинейного пропускания промышленных стекол, легированных полупроводниками  $CdS_xSe_{1-x}$ , зарегистрированы полосы просветления, связанные с насыщением оптических переходов между уровнями размерного квантования в системе пространственно-локализованных электронов и дырок. Хорошо выраженная дискретная структура спектров нелинейного пропускания объясняется селекцией нанокристаллов полупроводника по размерам при возбуждении узкополосным лазерным возбуждением, приводящим к частичному подавлению эффектов неоднородного уширения. Измерены характерные времена релаксации нелинейности, оценены значения нелинейной кубической восприимчивости исследуемых образцов.

Исследования оптических и нелинейно-оптических свойств полупроводниковых квазинульмерных (КН) структур представляют значительный интерес как с точки зрения получения новой информации о характере проявления эффекта размерного квантования в условиях трехмерной пространственной локализации носителей, так и в связи с разработкой скоростных нелинейно-оптических переключателей [1,2] и новых типов полупроводниковых лазеров [3]. Наиболее доступными КН объектами являются нанокристаллы (НК)  $CdS_xSe_{1-x}$ , содержащиеся в изготавливаемых отечественной промышленностью стеклах ЖС, ОС, КС [4,5] и аналогичных марках стекла производства зарубежных фирм [6,7].

Эффект трехмерной пространственной локализации носителей в случае НК малого радиуса  $R$  ( $R \leq a_{ex}$ ;  $a_{ex}$  — радиус экситона в объемном материале) приводит к модификации энергетического спектра носителей, который из квазинепрерывного в случае объемного полупроводника становится дискретным (спектр частицы в трехмерной потенциальной яме) [8]. Эффект размерного квантования практически не проявляется в спектрах линейного поглощения промышленных стекол [6], что обусловлено сильным неоднородным уширением уровней пространственно-локализованных носителей в силу значительной дисперсии размеров НК.

Перспективными методами изучения систем с большой неоднородной шириной оптических переходов являются методы нелинейной спектроскопии, в том числе двухлучевой спектроскопии насыщения. В [9] этим методом удалось наблюдать «выжигание спектральной дыры» в спектрах нелинейного пропускания НК  $CdSe$ , приготовленных в жидким растворе, при возбуждении в спектральную область нижнего оптического

перехода между уровнями размерного квантования, что позволило разделить влады механизмов однородного и неоднородного уширения. Моделирование нелинейного пропускания КН структур малого радиуса [10] показало, что эффект «выжигания дыры» в функции распределения НК по размерам наблюдается и при возбуждении в спектральную область, лежащую значительно выше первого оптического резонанса КН системы. Происходящая при этом селекция НК по радиусам приводит к частичному подавлению неоднородного уширения, благодаря чему дискретная структура оптических переходов может проявляться в спектрах нелинейного пропускания даже в случае сравнительно «гладких» (бессструктурных) спектров линейного поглощения, что и было зарегистрировано в экспериментах [11].

В настоящей работе методами нелинейной спектроскопии пропускания с временным разрешением исследованы образцы промышленного стекла ОС и КС. В спектрах дифференциального пропускания, полученных в различные моменты времени после действия ультракороткого импульса (УКИ) возбуждения, зарегистрирована дискретная структура, связанная с насыщением оптических переходов между уровнями размерного квантования. Измерены характерные времена релаксации нелинейности, однена абсолютная величина нелинейной кубической восприимчивости.

## 1. Методика измерений нелинейного пропускания и образцы

Исследовались образцы легированных  $\text{CdS}_x\text{Se}_{1-x}$  стекол ОС-13 и КС-19, приготовленные в виде тонких пластин толщиной 0.1–0.35 мм. Для определения композиционного состава содержащегося в них полупроводника были использованы спектры комбинационного рассеяния света (КРС). В случае соединений  $\text{CdS}_x\text{Se}_{1-x}$  спектр КРС имеет двухмодовый характер [12], одна из компонент которого подобна  $LO$ -фононной моде  $\text{CdSe}$ , другая —  $LO$ -фононной моде  $\text{CdS}$ . Спектральное положение и амплитуда рамановских пиков, соответствующих этим модам, изменяются с изменением композиционного состава полупроводниковой фазы, что может быть использовано для определения параметра  $x$  [13]. Действие размерных эффектов приводит к длинноволновому смещению пиков КРС, однако разность частот  $1LO$  ( $\text{CdSe}$ )- и  $1LO$  ( $\text{CdS}$ )-мод остается при этом неизменной и является, таким образом, хорошим параметром для определения состава НК.

Нами измерялись спектры КРС с использованием двойного монохроматора ДФС-24 при накачке образцов излучением аргонового лазера на длине волны 457.9 нм. Для образца ОС-13  $1LO$   $\text{CdSe}$ - и  $\text{CdS}$ -подобные моды имели частоты 199.5 и 295.4  $\text{см}^{-1}$  соответственно, что, согласно данным [13], соответствует составу  $x = 0.6$  и хорошо согласуется с результатами работы [14]. Отношение амплитуд рамановских пиков приводит к такому же значению параметра  $x$ . Для образца КС-19  $1LO$   $\text{CdSe}$ -подобная мода имела частоту 209.4  $\text{см}^{-1}$ , а  $1LO$   $\text{CdS}$ -подобная мода не зарегистрирована в спектрах КРС, что указывало на низкое содержание серы в исследуемом образце, соответствующее (с учетом чувствительности использованной аппаратуры)  $x < 0.05$ . В дальнейшем при анализе данных по нелинейному пропусканию использовались следующие значения параметра  $x$ :  $x = 0.6$  (ОС-13) и  $x = 0$  (КС-19).

Для измерения развернутых во времени спектров нелинейного пропускания исследуемых стекол использовались пикосекундная методика синхронного зондирования. Накачка образцов осуществлялась УКИ второй гармоники Nd:YAG лазера (энергия фотона  $\hbar\omega_p = 2.33$  эВ) с длительностью около 20 пс и энергией до 0.2 мДж. Для зондирования возбужденных образцов использовались задержанные относительно импульсов возбуждения УКИ «белого» света, полученные облучением кюветы с тяжелой водой частью основного излучения Nd:YAG лазера. Спектры зондирующего излучения (до и после образца) записывались с помощью многоканального анализатора OVA-284 с накоплением сигнала от 50–100 импульсов при одновременной селекции по энергии УКИ накачки с точностью  $\pm 10\%$ . По данным измерений рассчитывались спектры дифференциального пропускания

$$DT(\lambda) = \frac{T(\lambda) - T_0(\lambda)}{T_0(\lambda)},$$

где  $T(\lambda)$  и  $T_0(\lambda)$  — спектры пропускания возбужденного и невозбужденного образцов соответственно. Все измерения проводились при комнатной температуре образцов.

## 2. Экспериментальные результаты и их обсуждение

На рис. 1 приведены спектры линейного поглощения  $\alpha_0(\lambda)$  и спектры дифференциального пропускания образца КС-19, полученные при различных задержках между УКИ накачки и зондирования. В спектре  $\alpha_0(\lambda)$  отсутствовала какая-либо дискретная структура, которую можно было

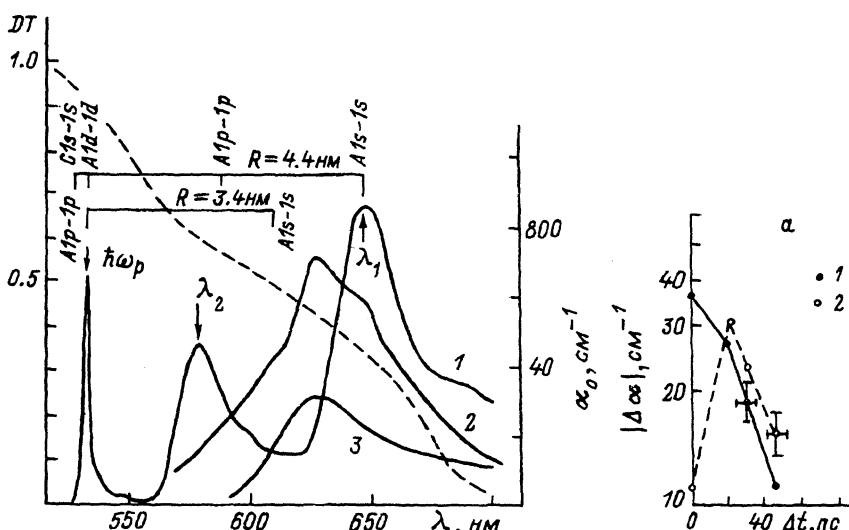


Рис. 1. Спектры дифференциального пропускания образца КС-19 (сплошная линия), полученные при различных задержках между импульсами возбуждения и зондирования ( $T = 300$  К,  $w = 4$  мДж/см $^2$ ).  $\Delta t = 0$  (1), 0 (2), 46 пс (3). Штриховая линия — спектр поглощения невозбужденного образца.

$a$  — динамика изменения во времени наведенных изменений коэффициента поглощения на длинах волн 645.4 (1) и 628.8 нм (2).

бы связать с переходами между уровнями размерного квантования, тогда как в спектре  $DT(\lambda)$  при нулевой задержке ( $\Delta t = 0$ ) хорошо разрешались два пика просветления с положениями 645.4 нм ( $\lambda_1$ ) и 578.4 нм ( $\lambda_2$ ). Наведенное изменение поглощения  $|\Delta\alpha|$  в области пика  $\lambda_1$  достигало 3 см<sup>-1</sup>, что соответствовало почти полному просветлению образца,  $|\Delta\alpha|/\alpha_0 = 0.8$ . Пик  $\lambda_2$  быстро релаксировал с увеличением задержки (в течение первых 20 пс), и в спектрах  $DT(\lambda)$  при  $\Delta t \geq 20$  пс наблюдался только пик  $\lambda_1$ , время экспоненциальной релаксации  $\tau$  которого (на длине волны 645.4 нм) составляло около 30 пс (рис. 1,а, темные кружки). Восстановление пропускания сопровождалось коротковолновым смещением максимума  $\lambda_1$  (до 628.8 нм), при котором величина  $|\Delta\alpha|$  на длине волны 628.8 нм сначала сравнительно медленно увеличивалась (за время около 20 пс) до 30 см<sup>-1</sup>, а затем релаксировала с характерным временем  $\tau$ , близким к 40 пс (рис. 1,а, светлые кружки).

Проанализируем полученные результаты с точки зрения модели сильной локализации носителей [8, 15], в которой пренебрегается кулоновским взаимодействием фотовозбужденных частиц. Энергия оптических переходов в НК CdSe радиуса  $R$  в рамках этой модели определяется соотношением

$$E_{jln} = E_g^j + \frac{\hbar^2 \varphi_{ln}^2}{2m_r R^2},$$

где  $E_g^j$  — ширина запрещенной зоны, связанной с  $j$ -й ( $j = A, B, C$ ) подзоной валентной зоны;  $m_r^{-1} = (m_e^{-1} + m_h^{-1})$  — приведенная масса носителей;  $\varphi_{ln}$  —  $n$ -й корень функции Бесселя полуцелого порядка  $J_{l+1/2}$  (для обозначения состояний в НК и соответствующих оптических переходов часто используется символика, принятая в атомной физике:  $1s$  ( $l = 0$ ,  $n = 1$ ),  $1p$  ( $l = 1$ ,  $n = 1$ ) и т.д.).

Спектр поглощения возбужденного образца  $\alpha(\omega)$  рассчитывается суммированием вкладов для всех дипольно-разрешенных переходов, связывающих состояния зоны проводимости и трех валентных подзон с учетом их чисел заполнения ( $n_{ln}^e$  и  $n_{jln}^h$  — для электронных и дырочных состояний соответственно). В случае НК одинакового радиуса  $R$  с концентрацией  $N_m$  данная процедура приводит к следующему результату:

$$\alpha(\omega) = \frac{4\pi\omega N_m}{n_0 c} \sum_{j=A,B,C} |d_j|^2 \sum_{l,n} \frac{2(2l+1)\hbar\Gamma_{jln}(1 - n_{ln}^e - n_{jln}^h)}{(\hbar\omega - E_{jln})^2 + \hbar^2\Gamma_{jln}^2},$$

где  $d_j$  — усредненный по поляризациям матричный элемент межзонного перехода для  $j$ -й валентной подзоны,  $\Gamma_{jln}$  — величина однородного уширения оптического перехода с энергией  $E_{jln}$ ,  $n_0$  — линейный показатель преломления. Индуцированное падающим излучением заполнение состояний вызывает насыщение соответствующего перехода, проявляющееся в виде пика просветления в спектрах нелинейного поглощения.

Положение пика  $\lambda_1$  в экспериментально измеренных спектрах  $DT(\lambda)$  соответствует энергии перехода из  $1s$ -состояния  $A$ -валентной подзоны в  $1s$ -состояние зоны проводимости (в дальнейшем переходы такого типа будем обозначать  $A1s-1s$ ) в НК радиуса 4.4 нм. Ввиду малости величины

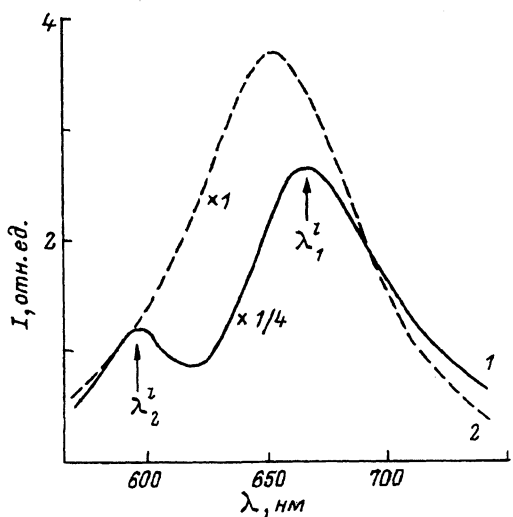


Рис. 2. Спектры люминесценции образца КС-19 (300 К) при  $w = 1$  (1), 4 мДж/см<sup>2</sup> (2).

$A-B$  расщепления валентной зоны в CdSe ( $\Delta_{AB} = 26$  мэВ [16]) по сравнению с шириной пиков просветления (около 100 мэВ) переходы типа  $A1s-1s$  и  $B1s-1s$  (и аналогичные им переходы с участием  $p$ ,  $d$  и других состояний) не разрешались в спектрах  $DT(\lambda)$ , поэтому в дальнейшем они учитывались как один двукратновырожденный (без учета спинового вырождения) переход  $A1s-1s$ . Энергии  $A1d-1d$  (2.334 эВ) и  $C1s-1s$  (2.353 эВ) переходов в НК с  $R = 4.4$  нм близки (рис. 1) к энергии фотона накачки ( $\hbar\omega_p = 2.330$  эВ), что обеспечивает высокую эффективность взаимодействия НК данного радиуса с лазерным излучением. Пик  $\lambda_2$  в спектрах дифференциального пропускания близок по положению к энергии  $A1p-1p$  перехода при  $R = 4.4$  нм, что также свидетельствует в пользу действия эффекта селективного возбуждения.

Энергия лазерного фотона соответствует энергии перехода  $A1p-1p$  для НК с радиусом около 3.4 нм, которые также эффективно возбуждаются падающим излучением. В спектрах  $DT(\lambda)$  влияние этих НК начинало проявляться, по-видимому, при задержках  $\Delta t \geq 20$  пс и выражалось в коротковолновом смещении пика  $\lambda_1$ . Наблюдаемая на эксперименте задержка в росте  $|\Delta\alpha|$  в спектральной области, соответствующей нижнему оптическому переходу в НК малого радиуса (см. кинетические зависимости на рис. 1, а), может быть объяснена особенностями в кинетике внутризонной энергетической релаксации носителей, скорость которой, по-видимому, уменьшается с уменьшением размеров НК (возможно, в результате как снижения эффективности электрон-фононного взаимодействия, так и увеличения расстояния между уровнями размерного квантования).

Действие эффекта селекции НК по размерам позволило наблюдать дискретную структуру оптических переходов и в спектрах люминесценции образца КС-19 (рис. 2). При уровне возбуждения  $w = 6$  мДж/см<sup>2</sup> зарегистрированы две полосы излучения с максимумами  $\lambda_1^l = 663.7$  и  $\lambda_2^l = 595.4$  нм, расположенными в спектральной области края поглощения образца. Расстояние между полосами (214 мэВ) было близко к

расстоянию между пиками  $\lambda_1$  и  $\lambda_2$  спектрах  $DT(\lambda)$ , что позволяет объяснить их межзонной излучательной рекомбинацией пространственно-локализованных носителей, занимающих  $1s(\lambda_1^l)$ - и  $1p(\lambda_2^l)$ -состояния. Заметим, что линия излучения  $\lambda_1^l(\lambda_2^l)$  была смещена в длинноволновую сторону относительно пика просветления  $\lambda_1(\lambda_2)$  на величину ( $\Delta\hbar\omega$ ) около 50 мэВ, что может быть связано с эффектом стоксова сдвига [17]. Соответствующее значение фактора Хуан Куя-Риса ( $S$ ), определенное по величине  $\Delta\hbar\omega$  из соотношения  $S = \Delta\hbar\omega/2\hbar\omega_{LO}$  ( $\hbar\omega_{LO}$  — энергия  $LO$ -фона), близко к единице, что согласуется с данными работы [18].

Обсудим возможные механизмы распада фотовозбуждаемой в НК электронно-дырочной (ЭД) системы. Измеренные в работе времена релаксации наведенных изменений коэффициента поглощения (30–40 пс) не могут быть объяснены межзонной излучательной рекомбинацией носителей, характерные времена для которой, по оценкам, составляют 1–2 нс [19]. Другими возможными каналами рекомбинации фотовозбужденных ЭД-пар являются захват на глубокие ловушки, являющиеся центрами излучательной рекомбинации, безызлучательная рекомбинация с участием поверхностных состояний, безызлучательная Оже-рекомбинация [6, 19–22].

Оже-процессы начинают проявляться при среднем числе ЭД-пар в НК ( $N_e$ ) не менее двух, поскольку выделяющаяся при аннигиляции электрона и дырки энергия должна передаваться какой-либо третьей частице. При  $N_e \geq 2$  достигается инверсия населенности на нижнем оптическом переходе ( $A1s-1s$ ), что соответствует режиму усиления, который, однако, не был зарегистрирован в спектрах  $DT(\lambda)$ . Таким образом, роль Оже-процессов в условиях проведенных экспериментов была, по-видимому, пренебрежимо мала. В случае высокой эффективности процесса захвата на ловушки в спектрах люминесценции одновременно с полосами межзонной рекомбинации наблюдается более длинноволновая полоса, связанная с излучательным распадом ловушек [5, 6, 20].

В проведенных в настоящей работе экспериментах длинноволновая полоса в спектрах люминесценции при использованных уровнях возбуждения не обнаружена (по крайней мере можно утверждать, что ее интенсивность была намного слабее интенсивности полос межзонной рекомбинации), что свидетельствовало о слабом влиянии состояний ловушек (например, в результате уже наступившего насыщения). Таким образом, проведенный анализ позволяет выделить в качестве доминирующего канала рекомбинации безызлучательный распад ЭД-системы с участием поверхностных состояний, с которым и следует, по-видимому, связать измеренное время релаксации около 30–40 пс.

Результаты измерений спектров  $\alpha_0(\lambda)$  и  $DT(\lambda)$  для образца ОС-13 приведены на рис. 3. В спектре линейного поглощения наблюдалась хорошо выраженная ступенька, спектральное положение которой (около 2.33 эВ) совпадало с положением первого пика ( $\lambda_1^l = 532$  нм) в спектре дифференциального пропускания при  $\Delta t = 0$ . Наблюдавшийся в спектре  $DT(\lambda)$  при нулевой задержке более коротковолновый пик ( $\lambda_2^l = 469$  нм) быстро релаксировал (за время короче 20 пс), тогда как пик  $\lambda_2'$  был более долгоживущим и характеризовался временем экспоненциальной релаксации около 90 пс (рис. 3, а).

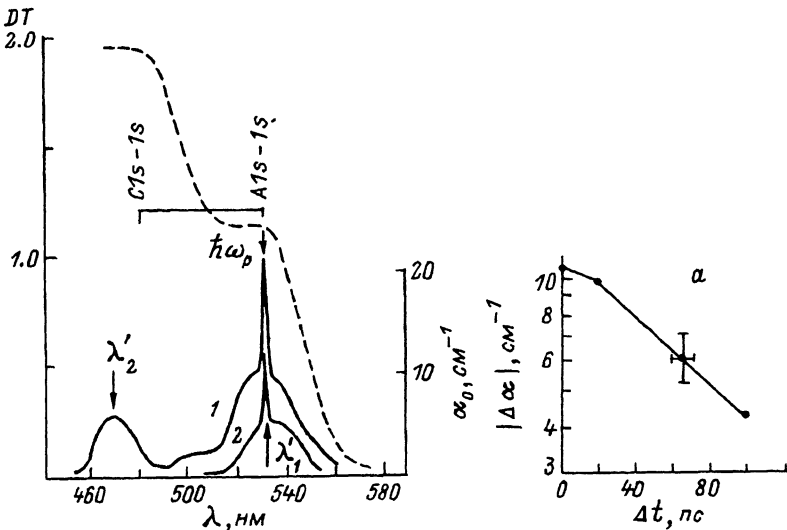


Рис. 3. Спектры дифференциального пропускания образца ОС-13 (сплошная линия), полученные при различных задержках между импульсами возбуждения и зондирования ( $T = 300$  К,  $w = 4$  мДж/см $^2$ ).  $\Delta t = 0$  (1), 66 пс (2). Штриховая линия — спектр поглощения невозбужденного образца.  $a$  — динамика релаксации наведенного изменения коэффициента поглощения на длине волн 532 нм.

Пик  $\lambda'_1$  в спектре  $DT(\lambda)$  (и ступеньку в спектре линейного поглощения) следует, по-видимому, отнести к первому оптическому переходу ( $A1s-1s$ ) между уровнями размерного квантования. Коротковолновый сдвиг этого пика относительно края запрещенной зоны объемного полупроводника CdS<sub>0.6</sub>Se<sub>0.4</sub> (величина  $E_g$  для него определялась по данным работы [23]) позволяет оценить радиус НК, дающих наибольший вклад в спектр  $DT(\lambda)$ :  $R = 2.8$  нм. Что касается пика  $\lambda'_2$ , то его нельзя связать со следующим по энергии оптическим переходом  $A1p-1p$ , поскольку энергия фотона накачки была меньше энергии этого перехода, и, таким образом, соответствующие уровни НК не могут быть заселены. Одной из причин возникновения пика  $\lambda'_2$  может быть насыщение перехода  $C1s-1s$  за счет заполнения электронного уровня (при свободном дырочном). Заметим, однако, что сдвиг пика  $\lambda'_2$  относительно пика  $\lambda'_1$  (313 эВ) заметно пре-восходит величину  $A-C$  расщепления валентной зоны (по данным [23], для CdS<sub>0.6</sub>Se<sub>0.4</sub>  $\Delta_{AC} = 254$  мэВ), в связи с чем природа пика  $\lambda'_2$  не может считаться окончательно установленной и требует дополнительного исследования.

Проведенные в работе измерения нелинейного поглощения позволяют оценить величину нелинейной кубической восприимчивости керровского типа  $\chi^{(3)}(\omega; \omega, -\omega, \omega)$  (в дальнейшем просто  $\chi^{(3)}(\omega)$ ), ответственной за эффекты светового самовоздействия. В случае достаточно низкой интенсивности  $I_\omega$  действующего резонансного монохроматического поля, при которой кубическая восприимчивость играет доминирующую роль в формировании нелинейно-оптического отклика материала, величина  $\text{Im } \chi^{(3)}$  может быть определена по данным для наведенного изменения коэффи-

$$\text{Im } \chi^{(3)}(\omega) = \frac{c^2 n_0^2}{8\pi^2 \omega} \frac{\Delta\alpha(\omega)}{I_\omega}. \quad (1)$$

Для того чтобы использовать в (1) результаты нестационарных экспериментов с нерезонансной накачкой, следует с помощью кинетического уравнения (стационарного вида) осуществить переход от интенсивности  $I_\omega$  к концентрации фотовозбужденных ЭД-пар  $n_e$ , что дает

$$\text{Im } \chi^{(3)}(\omega) = \frac{c^2 n_0^2}{8\pi^2 \omega} \frac{\tau_e \alpha_0(\omega) \Delta\alpha(\omega)}{\hbar \omega n_e}, \quad (2)$$

где  $\tau_e$  — характерное время жизни носителей. Используя в (2) среднее по толщине образца значение  $n_e$ , получим окончательное выражение для вычисления  $\text{Im } \chi^{(3)}$

$$\text{Im } \chi^{(3)}(\omega) = \frac{c^2 n_0^2}{8\pi^2 \omega} \frac{\tau_e d\alpha_0(\omega) \Delta\alpha(\omega)}{w A(\omega_p)}, \quad (3)$$

где  $w$  — плотность энергии УКИ возбуждения,  $A(\omega_p)$  — поглощаемая в образце доля энергии падающего излучения,  $d$  — толщина образца.

Подставляя в (3) значение  $\Delta\alpha$  на частоте нижнего оптического резонанса ( $A_{1s-1s}$ ) для времени  $\Delta t = 0$ , а также измеренные времена релаксации наведенных изменений коэффициента поглощения (30 пс для образца КС-19 и 90 пс для образца ОС-13), получим  $|\text{Im } \chi^{(3)}| = 2 \cdot 10^{-10}$  СГС (КС-19) и  $3 \cdot 10^{-10}$  СГС (ОС-13). Найденные значения нелинейных восприимчивостей превышают значения  $\chi^{(3)}$ , характерные для «классических» нерезонансных нелинейностей, однако существенно ниже абсолютных величин резонансных нелинейностей, зарегистрированных в объемных полупроводниках. Уменьшение  $\chi^{(3)}$  в случае НК-структур по сравнению с объемными материалами (вместо ожидаемого роста, вызванного эффектом пространственной локализации носителей [15]) обусловлено, с одной стороны, низким процентным содержанием полупроводника в стеклянной матрице (не превышающим 0.1%), а с другой стороны, резким сокращением характерного времени жизни носителей в НК малого размера вследствие роста эффективности процессов безызлучательной рекомбинации (в том числе за счет процессов с участием поверхностных состояний).

Таким образом, проведенные в работе измерения (с временным разрешением) спектров дифференциального пропускания промышленных стекол ОС и КС, легированных полупроводником  $\text{CdS}_x\text{Se}_{1-x}$ , позволили зарегистрировать дискретную структуру оптических переходов между уровнями пространственно-локализованных носителей, которая либо не видна, либо слабо выражена в спектрах линейного поглощения. Появление характерных пиков просветления в спектрах нелинейного пропускания объяснено эффектом селекции НК по размерам под действием узкополосного лазерного возбуждения (эффектом «выжигания дыры» в функции распределения НК по радиусам). Измерены характерные времена релаксации нелинейности, связанные, по-видимому, с безызлучательной рекомбинацией носителей через поверхностные состояния.

## Список литературы

- [1] Yumoto J., Fukushima S., Kubodera K. // Opt. Lett. 1987. V. 12. N 10. P. 832–834.
- [2] Acioli L.H., Gomes A.S., de Araujo C.B. // Electr. Lett. 1989. V. 25. N 11. P. 720–721.
- [3] Вандышев Ю.В., Днепровский В.С., Климов В.И., Окороков Д.К. // Письма в ЖЭТФ. 1991. Т. 54. № 8. С. 441–444.
- [4] Zimin L.G., Gaponenko S.V., Lebed V.Yu. // Phys. St. Sol. (b). 1988. V. 150. P. 653–656.
- [5] Gribkovskii V.P., Zyulkov V.A., Kozachenko A.E., Tikhomirov S.A. // Phys. St. Sol. (b). 1988. V. 150. P. 647–652.
- [6] Borrelli N.F., Hall D.W., Holland H.J., Smith D.W. // J. Appl. Phys. 1987. V. 61. P. 5389–5409.
- [7] Roussignol P., Ricard D., Flytzanis C. // Appl. Phys. A. 1987. V. 44. P. 285–292.
- [8] Эфрос Ал.Л., Эфрос А.Л. // ФТП. 1982. Т. 16. № 7. С.1209–1214.
- [9] Alivisatos A.P., Harris A.L., Levinson N.J., Steigerwald M.L., Brus L.E. J. // Chem. Phys. 1988. V. 89. N 7. P. 4001–4011.
- [10] Климов В.И. // ФТТ. 1992. Т. 34. № 8. С. 2472–2481.
- [11] Вандышев Ю.В., Днепровский В.С., Климов В.И. // ЖЭТФ. 1992. Т. 101. № 1. С. 270–284.
- [12] Баранов А.В., Бобович Я.С., Петров В.И. // Опт. и спектр. 1988. Т. 64. № 5. С. 1066–1069.
- [13] Tu A., Persous P.D. // Appl. Phys. Lett. 1991. V. 58. N 14. P. 1506–1508.
- [14] Gribkovskii V.P., Zaporozhchenko R.G., Zyulkov V.A., Kazachenko A.E., Lozovskii V.I. // Superlattices and microstructures. 1991. V. 10. N 4. P. 441–446.
- [15] Schmitt-Rink S., Miller D.A., Chemla D.S. // Phys. Rev. B. 1987. N 35. P. 8113–8125.
- [16] Сегал Б., Мэрпл М. Физика и химия соединений  $A_2B_6$  / Под ред. С.А.Медведева. М.: Мир, 1970. С. 246–295.
- [17] Ридли Б. Квантовые процессы в полупроводниках. М.: Мир, 1986.
- [18] Uhrig A., Banyai L., Hu Y.Z., Koch S.W., Gaponenko S., Neuroth N., Klingshirn C. // Proc. Intern. Conf. on Physics of Semiconductors (Thessaloniki, 1990) / Ed. E.M.Anastassakis, J.D.Jannopoulos. Word Scientific: Singapore, 1991. P. 2395–2398.
- [19] Dneprovskii V.S., Efros A.I.L., Ekimov A.I., Klimov V.I., Kudriavtsev I.A., Novikov M.G. // Sol. St. Comm. 1990. V. 74. N 7. P. 555–557.
- [20] Tomita M., Matsumoto T., Matsuoka M. // Opt. Soc. Am. 1989. V. 6. N 2. P. 165–170.
- [21] Williams V.S., Olbright G.R., Fluegel B.D., Koch S.W., Peyghambarian N. // J. Mod. Opt. 1988. V. 35. N 12. P. 1979–1993.
- [22] de Rougemont F., Frey R., Roussignol P., Ricard D., Flytzanis C. // Appl. Phys. Lett. 1987. V. 50. N 23. P. 1619–1621.

Московский государственный  
университет им. М.В.Ломоносова

Поступило в Редакцию  
29 октября 1992 г.